

การเปรียบเทียบระหว่างตัวควบคุมแบบพัชชีชนิดที่มีการปรับตัวกับตัวควบคุมที่ใช้ calamana พีลเตอร์

นายวินัย ธรรมทินโน



วิทยานิพนธ์นี้เป็นส่วนหนึ่งของการศึกษาตามหลักสูตรปริญญาวิศวกรรมศาสตรมหาบัณฑิต
ภาควิชาจักรกล สาขาวิชาจักรกล
บัณฑิตวิทยาลัย จุฬาลงกรณ์มหาวิทยาลัย
ปีการศึกษา 2539
ISBN 974-635-269-5
ลิขสิทธิ์ของบัณฑิตวิทยาลัย จุฬาลงกรณ์มหาวิทยาลัย

COMPARISON OF ADAPTIVE FUZZY CONTROLLERS AND KALMAN FILTER CONTROLLER

Mr. Wiboon Thamtinno

A Thesis Submitted in Partial Fulfillment of the Requirements

for the Degree of Master of Engineering

Department of Electrical Engineering

Graduate School

Chulalongkorn University

Academic Year 1996

ISBN 974-635-269-5

หัวข้อวิทยานิพนธ์

การเปรียบเทียบระหว่างตัวควบคุมแบบฟื้ชซีชนิดที่มีการปรับตัวกับตัวควบคุมที่ใช้ calamman filo detector

โดย

นาย วิญญาณ์ ธรรมทินโน

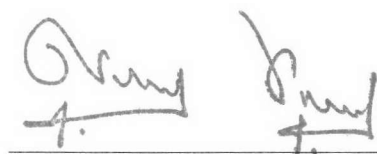
ภาควิชา

วิศวกรรมไฟฟ้า

อาจารย์ที่ปรึกษา

รองศาสตราจารย์ ดร. สุวัลย์ กลั่นความดี

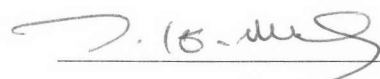
บันทึกวิทยาลัย จุฬาลงกรณ์มหาวิทยาลัย อนุมัติให้นักวิทยานิพนธ์ฉบับนี้เป็นส่วนหนึ่งของ
การศึกษาตามหลักสูตรปริญญามหาบัณฑิต



คณบดีบันทึกวิทยาลัย

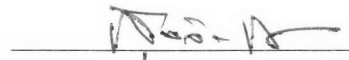
(ศาสตราจารย์ นายแพทย์ ศุภวัฒน์ ชุติวงศ์)

คณะกรรมการสอบวิทยานิพนธ์



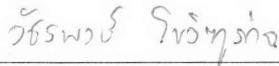
ประธานกรรมการ

(รองศาสตราจารย์ ดร. วรากรณ เชาววิชิชฐ)



อาจารย์ที่ปรึกษา

(รองศาสตราจารย์ ดร. สุวัลย์ กลั่นความดี)



กรรมการ

(อาจารย์ ดร. วัชรพงษ์ โภวิชูรกิจ)

พิมพ์ต้นฉบับที่คัดย่อวิทยานิพนธ์ภายในกรอบสีเขียวนี้เพียงแผ่นเดียว

วิญญาณ ธรรมทินโน : การเปรียบเทียบระหว่างตัวควบคุมแบบฟัชชีนิดที่มีการปรับตัวกับตัวควบคุมที่ใช้ calamana พิลเตอร์ (COMPARISON OF ADAPTIVE FUZZY CONTROLLERS AND KALMAN FILTER CONTROLLER) อ. ที่ปรึกษา : รศ. ดร. สุวัลย์ กลั่นความดี, 138 หน้า.
ISBN 974-635-269-5.

งานวิทยานิพนธ์ฉบับนี้ได้ทำการศึกษาผลของสัญญาณรบกวนที่เกิดขึ้นกับระบบและความคลาดเคลื่อนเนื่องจากการวัดทั้งแบบที่เป็นชนิดขาวแบบเก่าและชนิดสีแบบเก่า ระหว่างตัวควบคุมฟัชชีนิดที่มีการปรับตัวและตัวชดเชยที่ใช้ตัวกรองคามามา โดยทดสอบกับเพนดูลัม pendulum

ผลการทดสอบด้วยแบบจำลองโดยใช้คอมพิวเตอร์ พบว่าตัวควบคุมฟัชชีนิดที่มีการปรับตัวสามารถลดผลของสัญญาณรบกวนที่เกิดขึ้นกับระบบ และความคลาดเคลื่อนเนื่องจากการวัดทั้งแบบที่เป็นชนิดขาวแบบเก่าและชนิดสีแบบเก่าได้ดีกว่าตัวชดเชยที่มีตัวกรองคามามา แม้ว่าสัญญาณรบกวนที่เข้าสู่ระบบจะมีค่าความแปรปรวนเปลี่ยนไปจากที่กำหนดไว้ในการออกแบบตัวกรองคามามาหรือใช้ในการเรียนรู้ตัวควบคุมฟัชชีนิดที่มีการปรับตัว นอกจากนี้ตัวควบคุมฟัชชีนิดที่มีการปรับตัวยังสามารถลดผลของสัญญาณรบกวนได้เมื่อแบบจำลองระบบมีความไม่เป็นเรียงเส้น ในขณะที่ความสามารถในการลดผลของสัญญาณรบกวนของตัวกรองคามามาลดลง

ภาควิชา จิตวิทยาและมนุษยศาสตร์
สาขาวิชา รัฐประศาสนศาสตร์
ปีการศึกษา 2539

ลายมือชื่อนักศึกษา นิติบูล ธรรมทินโน^๑
ลายมือชื่ออาจารย์ที่ปรึกษา นิติบูล ธรรมทินโน^๑
ลายมือชื่ออาจารย์ที่ปรึกษาร่วม

พิมพ์ด้านฉบับทั้งหมดของวิทยานิพนธ์ภายในกรอบสีเขียวเพียงแผ่นเดียว

C716034 : MAJOR ELECTRICAL ENGINEERING

KEY WORD: ADAPTIVE FUZZY CONTROLLER / KALMAN FILTER / CONTROL SYSTEM

WIBOON THAMTINNO : COMPARISON OF ADAPTIVE FUZZY CONTROLLERS AND

KALMAN FILTER CONTROLLER. THESIS ADVISOR : ASSO. PROF. SUVALAI GLANKWAMDEE,

Ph.D. 138 pp. ISBN 974-635-269-5.

In this thesis, adaptive fuzzy control system is developed and compared with Kalman filter control system for inverted pendulum. The Kalman filter is an optimal stochastic linear filter and requires an explicit mathematical model of how control outputs depend on control inputs. Fuzzy controller does not require a mathematical model. Fuzzy controller also differ in the type of uncertainty. Simulation tested each system's response to a different family of uncertainty environment. Under normal operating conditions, when the unmodeled effects noise variance is small, the controllers perform very well. Under more uncertain condition their performance differs. Simulations suggest that fuzzy controller may provide a robust effective alternative to linear Kalman filter.

ภาควิชา.....วิศวกรรมไฟฟ้า

ลายมือชื่อนิสิต.....รุ่งอรุณ พูลสวัสดิ์

สาขาวิชา.....ระบบควบคุม

ลายมือชื่ออาจารย์ที่ปรึกษา.....ดร.๖๖๖๖

ปีการศึกษา.....๒๕๓๙

ลายมือชื่ออาจารย์ที่ปรึกษาร่วม.....



กิตติกรรมประกาศ

วิทยานิพนธ์ฉบับนี้ สำเร็จลุล่วงไปได้ด้วยความช่วยเหลืออย่างดีเยี่ยมของอาจารย์ รศ. ดร. สุวัลย์ กลั่นความคิด อาจารย์ที่ปรึกษาวิทยานิพนธ์ ซึ่งท่านได้ให้คำแนะนำข้อคิดเห็นดีๆ ใน การวิจัยด้วยความตลอด ขอขอบพระคุณคณะกรรมการสอบวิทยานิพนธ์ทุกท่านได้แก่ รศ. ดร. วรภรณ์ เชาววิศิษฐ์ และ อ.ดร. วัชรพงษ์ โภวิตรกิจ ที่ได้กรุณาให้คำแนะนำดีๆ ในงานวิจัยนี้ นอกจากนี้ ขอบคุณที่เพื่อนๆ และรุ่นน้องนิสิตร่วมสาขาวิชากรรมระบบควบคุมที่เป็นกำลังใจ และให้ความช่วยเหลือด้วยความโดยตลอด

ท้ายนี้ผู้วิจัยได้ขอบพระคุณบิดามารดา ซึ่งสนับสนุนในด้านการเงินและให้กำลังใจแก่ผู้วิจัย เเต่มอบมาจนสำเร็จการศึกษา

สารบัญ

หน้า	
บทคัดย่อภาษาไทย	๔
บทคัดย่อภาษาอังกฤษ	๘
กิตติกรรมประกาศ	๙
สารบัญตาราง	๙
สารบัญภาพ	๖

บทที่

1 บทนำ.....	1
ความเป็นมาและความสำคัญของปัญหา	2
จุดประสงค์ของวิทยานิพนธ์.....	4
ขอบเขตของวิทยานิพนธ์.....	4
โครงสร้างของวิทยานิพนธ์	5
2 พัชชีลอดจิกและการปรับตัวควบคุมพัชชีลอดจิก	6
เขตพัชชี	6
การดำเนินการเชิงทดลองพัชชี	8
ฐานกฎพัชชี.....	9
โครงสร้างพื้นฐานของตัวควบคุมตรรกศาสตร์พัชชี.....	10
1. พัชชีฟิเกชัน	11
2. ฐานความรู้.....	12
3. เครื่องอนุมาน.....	13
4. ดีพัชชีฟิเกชัน.....	14
ระบบตรรกศาสตร์พัชชี.....	15
1. ระบบพัชชีที่ใช้กฎแบบ Mamdani	15
2. ระบบพัชชีที่ใช้กฎแบบ Sugeno.....	19

สารบัญ(ต่อ)

	หน้า
ตัวควบคุมตรรกะศาสตร์ฟิชชีชนิดที่มีการปรับตัว	19
1. การปรับตัวควบคุมฟิชชีแบบทางอ้อม	20
2. การปรับตัวควบคุมฟิชชีแบบทางตรง	21
วิธีการเรียนรู้เพื่อปรับปรุงตัวควบคุมตรรกะศาสตร์ฟิชชี.....	22
1. การเรียนรู้เพื่อปรับปรุงตัวควบคุมตรรกะศาสตร์ฟิชชีโดยใช้ข่ายงาน ระบบประสาท	23
2. การเรียนรู้เพื่อปรับปรุงตัวควบคุมตรรกะศาสตร์ฟิชชีโดยใช้วิธีกำลัง ^{ส่องนัยสุดเชิงตั้งฉาก}	27
3 การออกแบบตัวควบคุมชดเชยชนิดลำหน้าและตัวกรองค่าลามาน	34
การสร้างแบบจำลองระบบ	34
การสร้างแบบจำลองเชิงเส้นจากระบบที่ไม่เป็นเชิงเส้น.....	37
การออกแบบตัวควบคุมชดเชยชนิดลำหน้า	39
1. การแปลงสมการระบบให้อยู่ในรูปสมการไม่ต่อเนื่อง	39
2. โครงสร้างตัวควบคุมของตัวชดเชยชนิดลำหน้า	40
3. การคำนวณหาค่าพารามิเตอร์ K ที่เหมาะสมที่สุด	42
ผลของตัวชดเชยชนิดลำหน้าต่อระบบจำลองที่เป็นเชิงเส้นและไม่เป็นเชิงเส้น	43
ผลของสัญญาณรบกวนที่เกิดขึ้นกับระบบชนิดตีแบบเกาส์และความคลาด เคลื่อนจากการวัดชนิดขาวแบบเกาส์เมื่อไม่มีตัวกรองค่าลามาน	44
ผลของสัญญาณรบกวนที่เกิดขึ้นกับระบบชนิดตีแบบเกาส์และความคลาด เคลื่อนจากการวัดชนิดขาวแบบเกาส์เมื่อไม่มีตัวกรองค่าลามาน	47
ผลของสัญญาณรบกวนที่เกิดขึ้นกับระบบชนิดขาวแบบเกาส์และผลของ ความคลาดเคลื่อนจากการวัดชนิดตีแบบเกาส์ เมื่อไม่มีตัวกรองค่าลามาน	49
การออกแบบตัวกรองค่าลามานเมื่อสัญญาณรบกวนที่เกิดขึ้นกับระบบ และการวัดเป็นชนิดขาวแบบเกาส์.....	51
การลดผลสัญญาณรบกวนที่เกิดขึ้นกับระบบและความคลาดเคลื่อนเนื่องจากการ วัดชนิดขาวแบบเกาส์ของตัวกรองค่าลามาน	52

สารบัญ(ต่อ)

	หน้า
การออกแบบตัวกรองคามาเนื่อสัมภាមนรบกวนที่เกิดขึ้นกับระบบ เป็นชนิดสีแบบเก่าส์	57
ผลของตัวกรองคามาเนื่อสัมภាមนรบกวนที่เกิดขึ้นกับระบบชนิดสีแบบเก่าส์ และการวัดชนิดขาวแบบเก่าส์	57
การออกแบบตัวกรองคามาเนื่อความผิดพลาดเนื่องจากการวัดเป็นชนิด สีแบบเก่าส์	61
ผลของตัวกรองคามาเนื่อสัมภាមนรบกวนที่เกิดขึ้นกับระบบชนิดขาวแบบ เก่าส์และความคลาดเคลื่อนเนื่องจากการวัดชนิดสีแบบเก่าส์.....	62
การลดผลของสัมภាមนรบกวนของตัวกรองคามาเนื่อระบบ มีความไม่เป็นเริงเส้น.....	66
สรุป.....	69
4 การออกแบบตัวควบคุมฟืชชีชนิดที่มีการปรับตัว	71
การออกแบบตัวควบคุมฟืชชีชนิดที่มีการปรับตัวโดยใช้ข่ายงาน ระบบประสาท.....	71
ผลของสัมภាមนรบกวนที่เกิดขึ้นกับระบบและความคลาดเคลื่อนเนื่องจาก การวัดชนิดขาวแบบเก่าส์ที่มีต่อตัวควบคุมฟืชชีชนิดที่มีการปรับตัว.....	81
ผลของสัมภាមนรบกวนที่เกิดขึ้นกับระบบชนิดสีแบบเก่าส์และความคลาด เคลื่อนเนื่องจากการวัดชนิดขาวแบบเก่าส์ที่มีต่อตัวควบคุมฟืชชี ชนิดที่มีการปรับตัว.....	88
ผลของสัมภាមนรบกวนที่เกิดขึ้นกับระบบชนิดขาวแบบเก่าส์และความ คลาดเคลื่อนเนื่องจากการวัดชนิดสีแบบเก่าส์ที่มีต่อตัวควบคุมฟืชชี ชนิดที่มีการปรับตัว.....	95
การออกแบบตัวควบคุมฟืชชีชนิดที่มีการปรับตัวโดยใช้วิธีกำลังสองน้ำเบสุค เริงตั้งจาก	101
สรุป.....	102

สารบัญ(ต่อ)

	หน้า
5 สรุปและข้อเสนอแนะ	103
สรุปผลการทำวิทยานิพนธ์.....	103
ข้อเสนอแนะ.....	106
รายการอ้างอิง.....	107
ภาคผนวก	
ภาคผนวก ก. ตารางเปรียบเทียบการลดผลของสัญญาณรบกวนระหว่าง ตัวกรองค่าความถี่และตัวควบคุมฟิลเตอร์ชนิดที่มีการปรับตัวโดยใช้ ข่ายงานระบบประสาท	111
ภาคผนวก ข. ตารางสรุปการลดผลของสัญญาณรบกวนระหว่างตัวกรองค่าความถี่ และตัวควบคุมฟิลเตอร์ชนิดที่มีการปรับตัวโดยใช้ข่ายงานระบบประสาท	133
ประวัติผู้เขียน	138

สารบัญตาราง

หน้า

ตารางที่ ก.1	แสดงการเปรียบเทียบการลดผลของความคลาดเคลื่อนเนื่องจากการวัดและสัญญาณรบกวนเนื่องจากลมพัดก้านชนิดขาวแบบเกาส์ที่มีค่าความแปรปรวนเท่ากับ $0.1 N^2$	114
ตารางที่ ก.2	แสดงการเปรียบเทียบการลดผลของความคลาดเคลื่อนเนื่องจากการวัดและสัญญาณรบกวนเนื่องจากลมพัดก้านชนิดขาวแบบเกาส์ที่มีค่าความแปรปรวนเท่ากับ $0.2 N^2$	115
ตารางที่ ก.3	แสดงการเปรียบเทียบการลดผลของความคลาดเคลื่อนเนื่องจากการวัดและสัญญาณรบกวนเนื่องจากลมพัดก้านชนิดขาวแบบเกาส์ที่มีค่าความแปรปรวนเท่ากับ $0.4 N^2$	115
ตารางที่ ก.4	แสดงการเปรียบเทียบการลดผลของความคลาดเคลื่อนเนื่องจากการวัดและสัญญาณรบกวนเนื่องจากลมพัดก้านชนิดขาวแบบเกาส์ที่มีค่าความแปรปรวนเท่ากับ $0.5 N^2$	116
ตารางที่ ก.5	แสดงการลดผลของความคลาดเคลื่อนเนื่องจากการวัดและสัญญาณรบกวนเนื่องจากลมพัดก้านชนิดขาวแบบเกาส์ โดยออกแบบหรือเรียนรู้สัญญาณรบกวนที่ค่าความแปรปรวนเท่ากับ $0.2 N^2$ (ค่าความแปรปรวนของสัญญาณรบกวนเท่ากับ $0.1 N^2$).....	116
ตารางที่ ก.6	แสดงการลดผลของความคลาดเคลื่อนเนื่องจากการวัดและสัญญาณรบกวนเนื่องจากลมพัดก้านชนิดขาวแบบเกาส์ โดยออกแบบหรือเรียนรู้สัญญาณรบกวนที่ค่าความแปรปรวนเท่ากับ $0.2 N^2$ (ค่าความแปรปรวนของสัญญาณรบกวนเท่ากับ $0.2 N^2$).....	117
ตารางที่ ก.7	แสดงการลดผลของความคลาดเคลื่อนเนื่องจากการวัดและสัญญาณรบกวนเนื่องจากลมพัดก้านชนิดขาวแบบเกาส์ โดยออกแบบหรือเรียนรู้สัญญาณรบกวนที่ค่าความแปรปรวนเท่ากับ $0.2 N^2$ (ค่าความแปรปรวนของสัญญาณรบกวนเท่ากับ $0.4 N^2$).....	117
ตารางที่ ก.8	แสดงการลดผลของความคลาดเคลื่อนเนื่องจากการวัดและสัญญาณรบกวนเนื่องจากพื้นชروعระบชนิดขาวแบบเกาส์ (ค่าความแปรปรวนของสัญญาณรบกวนเท่ากับ $0.1 N^2$).....	118

สารบัญตาราง(ต่อ)

၁၁၅

สารบัญตาราง(ต่อ)

ໜັງ

สารบัญตาราง(ต่อ)

หน้า

ตารางที่ ก.25 แสดงการลดผลของความคลาดเคลื่อนเนื่องจากการวัดชนิดขาวแบบเกาส์และสัญญาณรบกวนเนื่องจากพื้นที่ฐานนิคสีแบบเกาส์ โดยที่ความแปรปรวนของสัญญาณรบกวนเท่ากับ $1.5 N^2$	126
ตารางที่ ก.26 แสดงการลดผลของความคลาดเคลื่อนเนื่องจากการวัดชนิดขาวแบบเกาส์และสัญญาณรบกวนเนื่องจากพื้นที่ฐานนิคสีแบบเกาส์ โดยออกแบบหรือเรียนรู้สัญญาณรบกวนที่ค่าความแปรปรวนเท่ากับ $0.5 N^2$ (ความแปรปรวนของสัญญาณรบกวนเท่ากับ $0.1 N^2$)	127
ตารางที่ ก.27 แสดงการลดผลของความคลาดเคลื่อนเนื่องจากการวัดชนิดขาวแบบเกาส์และสัญญาณรบกวนเนื่องจากพื้นที่ฐานนิคสีแบบเกาส์ โดยออกแบบหรือเรียนรู้สัญญาณรบกวนที่ค่าความแปรปรวนเท่ากับ $0.5 N^2$ (ความแปรปรวนของสัญญาณรบกวนเท่ากับ $0.5 N^2$)	127
ตารางที่ ก.28 แสดงการลดผลของความคลาดเคลื่อนเนื่องจากการวัดชนิดขาวแบบเกาส์และสัญญาณรบกวนเนื่องจากพื้นที่ฐานนิคสีแบบเกาส์ โดยออกแบบหรือเรียนรู้สัญญาณรบกวนที่ค่าความแปรปรวนเท่ากับ $0.5 N^2$ (ความแปรปรวนของสัญญาณรบกวนเท่ากับ $1.5 N^2$)	128
ตารางที่ ก.29 แสดงการลดผลของความคลาดเคลื่อนเนื่องจากการวัดชนิดสีแบบเกาส์และสัญญาณรบกวนเนื่องจากลมพัดก้านชนิดขาวแบบเกาส์ที่มีความแปรปรวนเท่ากับ $0.1 N^2$	128
ตารางที่ ก.30 แสดงการลดผลของความคลาดเคลื่อนเนื่องจากการวัดชนิดสีแบบเกาส์และสัญญาณรบกวนเนื่องจากลมพัดก้านชนิดขาวแบบเกาส์ที่มีความแปรปรวนเท่ากับ $0.2 N^2$	129
ตารางที่ ก.31 แสดงการลดผลของความคลาดเคลื่อนเนื่องจากการวัดชนิดสีแบบเกาส์และสัญญาณรบกวนเนื่องจากลมพัดก้านชนิดขาวแบบเกาส์ที่มีความแปรปรวนเท่ากับ $0.4 N^2$	129
ตารางที่ ก.32 แสดงการลดผลของความคลาดเคลื่อนเนื่องจากการวัดชนิดสีแบบเกาส์และสัญญาณรบกวนเนื่องจากลมพัดก้านชนิดขาวแบบเกาส์ที่มีความแปรปรวนเท่ากับ $0.5 N^2$	130

สารบัญตาราง(ต่อ)

หน้า

ตารางที่ ก.33 แสดงการลดผลของความคลาดเคลื่อนเนื่องจากการวัดชนิดสีแบบเกาส์และสัญญาณรบกวนเนื่องจากลมพัดก้านชนิดขาวแบบเกาส์ โดยออกแบบ หรือเรียนรู้สัญญาณรบกวนที่ค่าความแปรปรวนเท่ากับ $0.2 N^2$ (ความแปรปรวนของสัญญาณรบกวนเท่ากับ $0.1 N^2$)	130
ตารางที่ ก.34 แสดงการลดผลของความคลาดเคลื่อนเนื่องจากการวัดชนิดสีแบบเกาส์และสัญญาณรบกวนเนื่องจากลมพัดก้านชนิดขาวแบบเกาส์ โดยออกแบบ หรือเรียนรู้สัญญาณรบกวนที่ค่าความแปรปรวนเท่ากับ $0.2 N^2$ (ความแปรปรวนของสัญญาณรบกวนเท่ากับ $0.2 N^2$)	131
ตารางที่ ก.35 แสดงการลดผลของความคลาดเคลื่อนเนื่องจากการวัดชนิดสีแบบเกาส์และสัญญาณรบกวนเนื่องจากลมพัดก้านชนิดขาวแบบเกาส์ โดยออกแบบ หรือเรียนรู้สัญญาณรบกวนที่ค่าความแปรปรวนเท่ากับ $0.2 N^2$ (ความแปรปรวนของสัญญาณรบกวนเท่ากับ $0.5 N^2$)	131
ตารางที่ ก.36 แสดงการลดผลของความคลาดเคลื่อนเนื่องจากการวัดชนิดสีแบบเกาส์และสัญญาณรบกวนเนื่องจากพื้นชุกรุขชนิดขาวแบบเกาส์ที่มีความแปรปรวน เท่ากับ $0.1 N^2$	132
ตารางที่ ก.37 แสดงการลดผลของความคลาดเคลื่อนเนื่องจากการวัดชนิดสีแบบเกาส์และสัญญาณรบกวนเนื่องจากพื้นชุกรุขชนิดขาวแบบเกาส์ที่มีความแปรปรวน เท่ากับ $0.5 N^2$	132
ตารางที่ ก.38 แสดงการลดผลของความคลาดเคลื่อนเนื่องจากการวัดชนิดสีแบบเกาส์และสัญญาณรบกวนเนื่องจากพื้นชุกรุขชนิดขาวแบบเกาส์ที่มีความแปรปรวน เท่ากับ $1 N^2$	133
ตารางที่ ก.39 แสดงการลดผลของความคลาดเคลื่อนเนื่องจากการวัดชนิดสีแบบเกาส์และสัญญาณรบกวนเนื่องจากพื้นชุกรุขชนิดขาวแบบเกาส์ที่มีความแปรปรวน เท่ากับ $1.5 N^2$	133

สารบัญตาราง(ต่อ)

หน้า

ตารางที่ ก.40 แสดงการลดผลของความคลาดเคลื่อนเนื่องจากการวัดชนิดสีแบบเกาส์และสัญญาณรบกวนเนื่องจากพื้นที่ระหว่างชนิดขาวแบบเกาส์ โดยออกแบบ หรือเรียนรู้สัญญาณรบกวนที่ค่าความแปรปรวนเท่ากับ $0.5 N^2$ (ความแปรปรวนของสัญญาณรบกวนเท่ากับ $0.1 N^2$)	134
ตารางที่ ก.41 แสดงการลดผลของความคลาดเคลื่อนเนื่องจากการวัดชนิดสีแบบเกาส์และสัญญาณรบกวนเนื่องจากพื้นที่ระหว่างชนิดขาวแบบเกาส์ โดยออกแบบ หรือเรียนรู้สัญญาณรบกวนที่ค่าความแปรปรวนเท่ากับ $0.5 N^2$ (ความแปรปรวนของสัญญาณรบกวนเท่ากับ $0.5 N^2$)	134
ตารางที่ ก.42 แสดงการลดผลของความคลาดเคลื่อนเนื่องจากการวัดชนิดสีแบบเกาส์และสัญญาณรบกวนเนื่องจากพื้นที่ระหว่างชนิดขาวแบบเกาส์ โดยออกแบบ หรือเรียนรู้สัญญาณรบกวนที่ค่าความแปรปรวนเท่ากับ $0.5 N^2$ (ความแปรปรวนของสัญญาณรบกวนเท่ากับ $1 N^2$)	135
ตารางที่ ข.1 สรุปการลดผลของความคลาดเคลื่อนเนื่องจากการวัดและสัญญาณรบกวนเนื่องจาก ลมพัดก้านชนิดขาวแบบเกาส์ เมื่อระบบมีสัญญาณรบกวนที่มีความแปรปรวน ตรงกับค่าที่ออกแบบ	136
ตารางที่ ข.2 สรุปการลดผลของความคลาดเคลื่อนเนื่องจากการวัดและสัญญาณรบกวนเนื่องจาก ลมพัดก้านชนิดขาวแบบเกาส์ เมื่อออกแบบสำหรับสัญญาณรบกวนที่มีความ แปรปรวนเท่ากับ $0.2 N^2$	136
ตารางที่ ข.3 สรุปการลดผลของความคลาดเคลื่อนเนื่องจากการวัดและสัญญาณรบกวนเนื่องจาก พื้นที่ระหว่างชนิดขาวแบบเกาส์ เมื่อระบบมีสัญญาณรบกวนที่มีความแปรปรวน ตรงกับค่าที่ออกแบบ	137
ตารางที่ ข.4 สรุปการลดผลของความคลาดเคลื่อนเนื่องจากการวัดและสัญญาณรบกวนเนื่องจาก พื้นที่ระหว่างชนิดขาวแบบเกาส์ เมื่อออกแบบสำหรับสัญญาณรบกวนที่มีความ แปรปรวนเท่ากับ $0.5 N^2$	137
ตารางที่ ข.5 สรุปการลดผลความคลาดเคลื่อนเนื่องจากการวัดชนิดขาวแบบเกาส์และสัญญาณ รบกวนเนื่องจากลมพัดก้านชนิดสีแบบเกาส์ เมื่อสัญญาณรบกวนมีความ แปรปรวนตรงกับค่าที่ออกแบบ	137

สารบัญตาราง(ต่อ)

หน้า

ตารางที่ ข.6	สรุปการลดผลของความคลาดเคลื่อนเนื่องจากการวัดชนิดขาวแบบเกาส์และสัญญาณ รบกวนเนื่องจากลมพัดก้านชนิดสีแบบเกาส์เมื่อออกรูปแบบที่ความแปรปรวน เท่ากับ $0.2 N^2$	138
ตารางที่ ข.7	สรุปการลดผลความคลาดเคลื่อนเนื่องจากการวัดชนิดขาวแบบเกาส์และสัญญาณ รบกวนเนื่องจากพื้นชุกระชนิดสีแบบเกาส์เมื่อสัญญาณรบกวน มีความแปรปรวนตรงกับค่าที่ออกรูปแบบ	138
ตารางที่ ข.8	สรุปการลดผลของความคลาดเคลื่อนเนื่องจากการวัดชนิดขาวแบบเกาส์และ สัญญาณรบกวนเนื่องจากพื้นชุกระชนิดสีแบบเกาส์ เมื่อออกรูปแบบที่ ความแปรปรวนเท่ากับ $0.5 N^2$	138
ตารางที่ ข.9	สรุปการลดผลความคลาดเคลื่อนเนื่องจากการวัดชนิดสีแบบเกาส์และ สัญญาณรบกวนเนื่องจากลมพัดก้านชนิดขาวแบบเกาส์เมื่อสัญญาณรบกวน มีความแปรปรวนตรงกับค่าที่ออกรูปแบบ	139
ตารางที่ ข.10	สรุปการลดผลของความคลาดเคลื่อนเนื่องจากการวัดชนิดสีแบบเกาส์และ สัญญาณรบกวนเนื่องจากลมพัดก้านชนิดขาวแบบเกาส์เมื่อออกรูปแบบที่ความ แปรปรวนเท่ากับ $0.2 N^2$	139
ตารางที่ ข.11	สรุปการลดผลความคลาดเคลื่อนเนื่องจากการวัดชนิดสีแบบเกาส์และ สัญญาณรบกวนเนื่องจากพื้นชุกระชนิดขาวแบบเกาส์เมื่อสัญญาณรบกวนมี ความแปรปรวนตรงกับค่าที่ออกรูปแบบ	139
ตารางที่ ข.12	สรุปการลดผลของความคลาดเคลื่อนเนื่องจากการวัดชนิดสีแบบเกาส์และ สัญญาณรบกวนเนื่องจากพื้นชุกระชนิดขาวแบบเกาส์ เมื่อออกรูปแบบที่ความ แปรปรวนเท่ากับ $0.5 N^2$	140

สารบัญภาพ

	หน้า
รูปที่ 2.1	แสดงเซตที่มีขอบเขตชัดเจนของวันในแต่ละสัปดาห์ 6
รูปที่ 2.2	แสดงเซตฟ์ซี ของวันหยุดในแต่ละสัปดาห์ 7
รูปที่ 2.3	แสดงฟังก์ชันภาวะสมาร์ติกของเซตความสูงของคน 7
รูปที่ 2.4	ตัวอย่างการคำนวณการทางทฤษฎีเซต 9
รูปที่ 2.5	แสดงองค์ประกอบของตัวควบคุมฟ์ซี 11
รูปที่ 2.6	คีฟ์ซีฟิเกชันด้วยวิธีจุดศูนย์ถ่วง 14
รูปที่ 2.7	ตัวอย่างโครงสร้างของระบบฟ์ซีที่ใช้กฎแบบ Mamdani 15
รูปที่ 2.8	ฟ์ซีฟิเกชัน 16
รูปที่ 2.9	การคำนวณการทางเซตของระบบฟ์ซี 17
รูปที่ 2.10	การตีความหมายกฎ 18
รูปที่ 2.11	การรวมกฎเข้าด้วยกัน 18
รูปที่ 2.12	โครงสร้างของตัวควบคุมฟ์ซีชนิดที่มีการปรับตัวทางอ้อม 20
รูปที่ 2.13	โครงสร้างของตัวควบคุมฟ์ซีชนิดที่มีการปรับตัวทางตรง 22
รูปที่ 2.14	โครงสร้างของ ANFIS ที่สมมูลกับระบบฟ์ซีตัวอย่าง 25
รูปที่ 2.15	ตัวอย่างฟังก์ชันมูลฐานฟ์ซี 29
รูปที่ 3.1	แสดงลักษณะของระบบการตั้งก้านที่อุ้งนรด(Inverted pendulum) 35
รูปที่ 3.2	แสดงมุมของก้านและตำแหน่งรถเมื่อมุมของก้านเริ่มต้นไม่เท่ากับศูนย์ 37
รูปที่ 3.3	แสดงแผนผังการใช้ตัวชุดเชยานิคถำหน้าควบคุมเพนคลั้มพฤกษ์ 40
รูปที่ 3.4	แสดงผลตอบของระบบเมื่อมีตัวชุดเชยานิคถำหน้า 43
รูปที่ 3.5(a)	แสดงมุมของก้านและตำแหน่งรถของระบบจำลองที่เป็นเชิงเส้น โดยมีค่ามุมเริ่มต้นของก้านเท่ากับ 0.1 เรเดียน 44
รูปที่ 3.5(b)	แสดงมุมของก้านและตำแหน่งรถของระบบจำลองที่เป็นเชิงเส้น โดยมีค่ามุมเริ่มต้นของก้านเท่ากับ 0.2 เรเดียน 44
รูปที่ 3.5(c)	แสดงมุมของก้านและตำแหน่งรถของระบบจำลองที่ไม่เป็นเชิงเส้น โดยมีค่ามุมเริ่มต้นของก้านเท่ากับ 0.1 เรเดียน 44
รูปที่ 3.5(d)	แสดงมุมของก้านและตำแหน่งรถของระบบจำลองที่ไม่เป็นเชิงเส้น โดยมีค่ามุมเริ่มต้นของก้านเท่ากับ 0.2 เรเดียน 44

สารบัญภาพ (ต่อ)

หน้า

สารบัญภาพ (ต่อ)

หน้า

สารบัญภาพ (ต่อ)

หน้า

รูปที่ 3.10(d) แสดงผลของความคลาดเคลื่อนเนื่องจากการวัดชนิดสีแบบเกาส์รวมทั้งมีสัญญาณรบกวนเนื่องจากลมพัดก้านชนิดขาวแบบเกาส์ โดยมีค่าความแปรปรวนเท่ากับ 0.5 N^2	49
รูปที่ 3.11(a) แสดงผลของความคลาดเคลื่อนเนื่องจากการวัดชนิดสีแบบเกาส์รวมทั้งมีสัญญาณรบกวนเนื่องจากพื้นชุกรุขชนิดขาวแบบเกาส์ โดยมีค่าความแปรปรวนเท่ากับ 0.1 N^2	50
รูปที่ 3.11(b) แสดงผลของความคลาดเคลื่อนเนื่องจากการวัดชนิดสีแบบเกาส์รวมทั้งมีสัญญาณรบกวนเนื่องจากพื้นชุกรุขชนิดขาวแบบเกาส์ โดยมีค่าความแปรปรวนเท่ากับ 0.5 N^2	50
รูปที่ 3.11(c) แสดงผลของความคลาดเคลื่อนเนื่องจากการวัดชนิดสีแบบเกาส์รวมทั้งมีสัญญาณรบกวนเนื่องจากพื้นชุกรุขชนิดขาวแบบเกาส์ โดยมีค่าความแปรปรวนเท่ากับ 1 N^2	50
รูปที่ 3.11(d) แสดงผลของความคลาดเคลื่อนเนื่องจากการวัดชนิดสีแบบเกาส์รวมทั้งมีสัญญาณรบกวนเนื่องจากพื้นชุกรุขชนิดขาวแบบเกาส์ โดยมีค่าความแปรปรวนเท่ากับ 1.5 N^2	50
รูปที่ 3.12 แผนภาพแสดง โครงสร้างของตัวกรองคามาน	51
รูปที่ 3.13(a) แสดงมุมของก้านและตำแหน่งรดเมื่อใช้ตัวกรองคามานในการลดผลของความคลาดเคลื่อนเนื่องจากการวัดรวมทั้งมีสัญญาณรบกวนเนื่องจากลมพัดก้านชนิดขาวแบบเกาส์ โดยมีค่าความแปรปรวนเท่ากับ 0.1 N^2	53
รูปที่ 3.13(b) แสดงมุมของก้านและตำแหน่งรดเมื่อใช้ตัวกรองคามานในการลดผลของความคลาดเคลื่อนเนื่องจากการวัดรวมทั้งมีสัญญาณรบกวนเนื่องจากลมพัดก้านชนิดขาวแบบเกาส์ โดยมีค่าความแปรปรวนเท่ากับ 0.2 N^2	53
รูปที่ 3.13(c) แสดงมุมของก้านและตำแหน่งรดเมื่อใช้ตัวกรองคามานในการลดผลของความคลาดเคลื่อนเนื่องจากการวัดรวมทั้งมีสัญญาณรบกวนเนื่องจากลมพัดก้านชนิดขาวแบบเกาส์ โดยมีค่าความแปรปรวนเท่ากับ 0.4 N^2	53

สารบัญภาพ (ต่อ)

หน้า

- | |
|---|
| รูปที่ 3.13(d) แสดงมุมของก้านและตำแหน่งรดเมื่อใช้ตัวกรองคามาในลดผลของ
ความคลาดเคลื่อนเนื่องจากการวัดรวมทั้งมีสัญญาณรบกวนเนื่องจากลมพัดก้าน ^{.....}
ชนิดขาวแบบเก่า โดยมีค่าความแปรปรวนเท่ากับ 0.5 N^253 |
| รูปที่ 3.14(a) แสดงมุมของก้านและตำแหน่งรดเมื่อใช้ตัวกรองคามา(ออกแบบที่
ความแปรปรวนของสัญญาณรบกวนเท่ากับ 0.2 N^2)ในการลดผลของ
ความคลาดเคลื่อนเนื่องจากการวัดรวมทั้งมีสัญญาณรบกวนเนื่องจากลมพัดก้าน ^{.....}
ชนิดขาวแบบเก่า โดยมีค่าความแปรปรวนเท่ากับ 0.1 N^254 |
| รูปที่ 3.14(b) แสดงมุมของก้านและตำแหน่งรดเมื่อใช้ตัวกรองคามา(ออกแบบที่
ความแปรปรวนของสัญญาณรบกวนเท่ากับ 0.2 N^2)ในการลดผลของ
ความคลาดเคลื่อนเนื่องจากการวัดรวมทั้งมีสัญญาณรบกวนเนื่องจากลมพัดก้าน ^{.....}
ชนิดขาวแบบเก่า โดยมีค่าความแปรปรวนเท่ากับ 0.2 N^254 |
| รูปที่ 3.14(c) แสดงมุมของก้านและตำแหน่งรดเมื่อใช้ตัวกรองคามา(ออกแบบที่
ความแปรปรวนของสัญญาณรบกวนเท่ากับ 0.2 N^2)ในการลดผลของ
ความคลาดเคลื่อนเนื่องจากการวัดรวมทั้งมีสัญญาณรบกวนเนื่องจากลมพัดก้าน ^{.....}
ชนิดขาวแบบเก่า โดยมีค่าความแปรปรวนเท่ากับ 0.4 N^254 |
| รูปที่ 3.14(d) แสดงมุมของก้านและตำแหน่งรดเมื่อใช้ตัวกรองคามา(ออกแบบที่
ความแปรปรวนของสัญญาณรบกวนเท่ากับ 0.2 N^2)ในการลดผลของ
ความคลาดเคลื่อนเนื่องจากการวัดรวมทั้งมีสัญญาณรบกวนเนื่องจากลมพัดก้าน ^{.....}
ชนิดขาวแบบเก่า โดยมีค่าความแปรปรวนเท่ากับ 0.5 N^254 |
| รูปที่ 3.15(a) แสดงมุมของก้านและตำแหน่งรดเมื่อใช้ตัวกรองคามาในการลดผลของ
ความคลาดเคลื่อนเนื่องจากการวัดรวมทั้งมีสัญญาณรบกวนเนื่องจากพื้นชานระ ^{.....}
ชนิดขาวแบบเก่า โดยมีค่าความแปรปรวนเท่ากับ 0.1 N^255 |
| รูปที่ 3.15(b) แสดงมุมของก้านและตำแหน่งรดเมื่อใช้ตัวกรองคามาในการลดผลของ
ความคลาดเคลื่อนเนื่องจากการวัดรวมทั้งมีสัญญาณรบกวนเนื่องจากพื้นชานระ ^{.....}
ชนิดขาวแบบเก่า โดยมีค่าความแปรปรวนเท่ากับ 0.5 N^255 |

สารบัญภาพ (ต่อ)

หน้า

- รูปที่ 3.15(c)** แสดงมุมของก้านและตำแหน่งรถเมื่อใช้ตัวกรองคามาในลดผลของ
ความคลาดเคลื่อนเนื่องจากการวัดรวมทั้งมีสัญญาณรบกวนเนื่องจากพื้นชานุรุ่ง
ชนิดขาวแบบเกาส์ โดยมีค่าความแปรปรวนเท่ากับ 1.0 N^2 55
- รูปที่ 3.15(d)** แสดงมุมของก้านและตำแหน่งรถเมื่อใช้ตัวกรองคามาในลดผลของ
ความคลาดเคลื่อนเนื่องจากการวัดรวมทั้งมีสัญญาณรบกวนเนื่องจากพื้นชานุรุ่ง
ชนิดขาวแบบเกาส์ โดยมีค่าความแปรปรวนเท่ากับ 1.5 N^2 55
- รูปที่ 3.16(a)** แสดงมุมของก้านและตำแหน่งรถเมื่อใช้ตัวกรองคามา(ออกแบบที่
ความแปรปรวนของสัญญาณรบกวนเท่ากับ 0.5 N^2)ในการลดผลของ
ความคลาดเคลื่อนเนื่องจากการวัดรวมทั้งมีสัญญาณรบกวนเนื่องจากพื้นชานุรุ่ง
ชนิดขาวแบบเกาส์ โดยมีค่าความแปรปรวนเท่ากับ 0.1 N^2 56
- รูปที่ 3.16(b)** แสดงมุมของก้านและตำแหน่งรถเมื่อใช้ตัวกรองคามา(ออกแบบที่
ความแปรปรวนของสัญญาณรบกวนเท่ากับ 0.5 N^2)ในการลดผลของ
ความคลาดเคลื่อนเนื่องจากการวัดรวมทั้งมีสัญญาณรบกวนเนื่องจากพื้นชานุรุ่ง
ชนิดขาวแบบเกาส์ โดยมีค่าความแปรปรวนเท่ากับ 0.5 N^2 56
- รูปที่ 3.16(c)** แสดงมุมของก้านและตำแหน่งรถเมื่อใช้ตัวกรองคามา(ออกแบบที่
ความแปรปรวนของสัญญาณรบกวนเท่ากับ 0.5 N^2)ในการลดผลของ
ความคลาดเคลื่อนเนื่องจากการวัดรวมทั้งมีสัญญาณรบกวนเนื่องจากพื้นชานุรุ่ง
ชนิดขาวแบบเกาส์ โดยมีค่าความแปรปรวนเท่ากับ 1.0 N^2 56
- รูปที่ 3.16(d)** แสดงมุมของก้านและตำแหน่งรถเมื่อใช้ตัวกรองคามา(ออกแบบที่
ความแปรปรวนของสัญญาณรบกวนเท่ากับ 0.5 N^2)ในการลดผลของ
ความคลาดเคลื่อนเนื่องจากการวัดรวมทั้งมีสัญญาณรบกวนเนื่องจากพื้นชานุรุ่ง
ชนิดขาวแบบเกาส์ โดยมีค่าความแปรปรวนเท่ากับ 1.5 N^2 56
- รูปที่ 3.17(a)** แสดงมุมของก้านและตำแหน่งรถเมื่อใช้ตัวกรองคามาในลดผลของ
ความคลาดเคลื่อนเนื่องจากการวัดชนิดขาวแบบเกาสร่วมทั้งมีสัญญาณรบกวนเนื่องจาก
ลมพัดก้านชนิดสีแบบเกาส์ โดยมีค่าความแปรปรวนเท่ากับ 0.1 N^2 58

สารบัญภาพ (ต่อ)

၁၁၅

สารบัญภาพ (ต่อ)

หน้า

สารบัญภาพ (ต่อ)

หน้า

สารบัญภาพ (ต่อ)

หน้า

รูปที่ 3.23(b) แสดงนุ่มของก้านและตำแหน่งรถเมื่อใช้ตัวกรองคามาในลดผลของความ ผิดพลาดเนื่องจากการวัดชนิดสีแบบเกาส์รวมทั้งมีสัญญาณรบกวนเนื่องจาก พื้นชuruะชนิดขาวแบบเกาส์ โดยที่ค่าความแปรปรวนเท่ากับ $0.5 N^2$65
รูปที่ 3.23(c) แสดงนุ่มของก้านและตำแหน่งรถเมื่อใช้ตัวกรองคามาในลดผลของความ ผิดพลาดเนื่องจากการวัดชนิดสีแบบเกาส์รวมทั้งมีสัญญาณรบกวนเนื่องจาก พื้นชuruะชนิดขาวแบบเกาส์ โดยที่ค่าความแปรปรวนเท่ากับ $1.0 N^2$65
รูปที่ 3.23(d) แสดงนุ่มของก้านและตำแหน่งรถเมื่อใช้ตัวกรองคามาในลดผลของความ ผิดพลาดเนื่องจากการวัดชนิดสีแบบเกาส์รวมทั้งมีสัญญาณรบกวนเนื่องจาก พื้นชuruะชนิดขาวแบบเกาส์ โดยที่ค่าความแปรปรวนเท่ากับ $1.5 N^2$65
รูปที่ 3.24(a) แสดงนุ่มของก้านและตำแหน่งรถเมื่อใช้ตัวกรองคามา(ออกแบบที่ ค่าความแปรปรวนของสัญญาณรบกวนเท่ากับ $0.5 N^2$)ในลดผลของความ ผิดพลาดเนื่องจากการวัดชนิดสีแบบเกาส์รวมทั้งมีสัญญาณรบกวนเนื่องจาก พื้นชuruะชนิดขาวแบบเกาส์ โดยมีค่าความแปรปรวนเท่ากับ $0.1 N^2$66
รูปที่ 3.24(b) แสดงนุ่มของก้านและตำแหน่งรถเมื่อใช้ตัวกรองคามา(ออกแบบที่ ค่าความแปรปรวนของสัญญาณรบกวนเท่ากับ $0.5 N^2$)ในลดผลของความ ผิดพลาดเนื่องจากการวัดชนิดสีแบบเกาส์รวมทั้งมีสัญญาณรบกวนเนื่องจาก พื้นชuruะชนิดขาวแบบเกาส์ โดยมีค่าความแปรปรวนเท่ากับ $0.5 N^2$66
รูปที่ 3.24(c) แสดงนุ่มของก้านและตำแหน่งรถเมื่อใช้ตัวกรองคามา(ออกแบบที่ ค่าความแปรปรวนของสัญญาณรบกวนเท่ากับ $0.5 N^2$)ในลดผลของความ ผิดพลาดเนื่องจากการวัดชนิดสีแบบเกาส์รวมทั้งมีสัญญาณรบกวนเนื่องจาก พื้นชuruะชนิดขาวแบบเกาส์ โดยมีค่าความแปรปรวนเท่ากับ $1.0 N^2$66
รูปที่ 3.24(d) แสดงนุ่มของก้านและตำแหน่งรถเมื่อใช้ตัวกรองคามา(ออกแบบที่ ค่าความแปรปรวนของสัญญาณรบกวนเท่ากับ $0.5 N^2$)ในลดผลของความ ผิดพลาดเนื่องจากการวัดชนิดสีแบบเกาส์รวมทั้งมีสัญญาณรบกวนเนื่องจาก พื้นชuruะชนิดขาวแบบเกาส์ โดยมีค่าความแปรปรวนเท่ากับ $1.5 N^2$66
รูปที่ 4.1 แสดงแผนภาพกรอบของโครงสร้างการปรับตัวของตัวควบคุมฟิลเตอร์ ชนิดที่มีการปรับตัว.....74

สารบัญภาพ (ต่อ)

	หน้า	
รูปที่ 4.2	พังก์ชันภาวะสมາชิกเริ่มต้นของสัญญาณเข้า	75
รูปที่ 4.3	แสดงข่ายงานระบบประสาทที่ใช้ในเทนระบบฟืชซีของตัวควบคุม	76
รูปที่ 4.4	แสดงค่าของครรชนีสมรรถนะในแต่ละรอบการทำคำสั่ง	78
รูปที่ 4.5	แสดงพังก์ชันภาวะสมາชิกของตัวควบคุมฟืชซีหลังจากการเรียนรู้โดยใช้ข่ายงานระบบประสาท.....	78
รูปที่ 4.6	แสดงมุมของก้านและตำแหน่งรอดเมื่อใช้ตัวควบคุมฟืชซีชนิดที่มีการปรับตัวโดยใช้การเรียนรู้แบบข่ายงานระบบประสาท	79
รูปที่ 4.7	แสดงค่าของครรชนีสมรรถนะในแต่ละรอบการทำคำสั่ง	80
รูปที่ 4.8	แสดงพังก์ชันภาวะสมາชิกของตัวควบคุมฟืชซีหลังจากการเรียนรู้โดยใช้ข่ายงานระบบประสาท.....	81
รูปที่ 4.9	แสดงมุมของก้านและตำแหน่งรอดเมื่อใช้ตัวควบคุมฟืชซีชนิดที่มีการปรับตัวโดยใช้การเรียนรู้แบบข่ายงานระบบประสาท	82
รูปที่ 4.10	การเปรียบเทียบมุมของก้านเมื่อใช้ตัวควบคุมฟืชซีชนิดที่มีการปรับตัวโดยใช้การเรียนรู้แบบข่ายงานระบบประสาทและตัวชดเชย	82
รูปที่ 4.11	การเปรียบเทียบตำแหน่งรอดเมื่อใช้ตัวควบคุมฟืชซีชนิดที่มีการปรับตัวโดยใช้การเรียนรู้แบบข่ายงานระบบประสาทและตัวชดเชย	83
รูปที่ 4.12(a)	แสดงมุมของก้านและตำแหน่งรอดเมื่อมีความคลาดเคลื่อนจากการวัดและการรับกวนเนื่องจากลมพัดก้านชนิดขาวแบบเกาส์ที่มีความแปรปรวนเท่ากับ $0.1 N^2$	82
รูปที่ 4.12(b)	แสดงมุมของก้านและตำแหน่งรอดเมื่อมีความคลาดเคลื่อนจากการวัดและการรับกวนเนื่องจากลมพัดก้านชนิดขาวแบบเกาส์ที่มีความแปรปรวนเท่ากับ $0.2 N^2$	82
รูปที่ 4.12(c)	แสดงมุมของก้านและตำแหน่งรอดเมื่อมีความคลาดเคลื่อนจากการวัดและการรับกวนเนื่องจากลมพัดก้านชนิดขาวแบบเกาส์ที่มีความแปรปรวนเท่ากับ $0.4 N^2$	82
รูปที่ 4.12(d)	แสดงมุมของก้านและตำแหน่งรอดเมื่อมีความคลาดเคลื่อนจากการวัดและการรับกวนเนื่องจากลมพัดก้านชนิดขาวแบบเกาส์ที่มีความแปรปรวนเท่ากับ $0.5 N^2$	82
รูปที่ 4.13	แสดงการเปรียบเทียบมุมของก้านเมื่อมีสัญญาณรบกวนเนื่องจากลมพัดก้านชนิดขาวแบบเกาส์ที่มีค่าความแปรปรวนเท่ากับ $0.2 N^2$	83

สารบัญภาพ (ต่อ)

หน้า

สารบัญภาพ (ต่อ)

สารบัญภาพ (ต่อ)

	หน้า
รูปที่ 4.27(a) แสดงมุมของก้านและตำแหน่งรถเมื่อมีความคลาดเคลื่อนจากการวัดชนิดสีแบบเกาส์ และการรับળนเนื่องจากพื้นชุ่มระที่มีความแปรปรวนเท่ากับ $0.1 N^2$	99
รูปที่ 4.27(b) แสดงมุมของก้านและตำแหน่งรถเมื่อมีความคลาดเคลื่อนจากการวัดชนิดสีแบบเกาส์ และการรับળนเนื่องจากพื้นชุ่มระที่มีความแปรปรวนเท่ากับ $0.5 N^2$	99
รูปที่ 4.27(c) แสดงมุมของก้านและตำแหน่งรถเมื่อมีความคลาดเคลื่อนจากการวัดชนิดสีแบบเกาส์ และการรับળนเนื่องจากพื้นชุ่มระที่มีความแปรปรวนเท่ากับ $1.0 N^2$	99
รูปที่ 4.27(d) แสดงมุมของก้านและตำแหน่งรถเมื่อมีความคลาดเคลื่อนจากการวัดชนิดสีแบบเกาส์ และการรับળนเนื่องจากพื้นชุ่มระที่มีความแปรปรวนเท่ากับ $1.5 N^2$	99
รูปที่ 4.28 แสดงการเปรียบเทียบมุมของก้านเมื่อมีความคลาดเคลื่อนเนื่องจากการวัดชนิดสีแบบเกาส์และมีสัญญาณรบกวนเนื่องจากพื้นชุ่มระชนิดขาวแบบเกาส์มีค่าความแปรปรวนเท่ากับ $0.5 N^2$	99
รูปที่ 4.29 แสดงการเปรียบเทียบตำแหน่งรถเมื่อมีความคลาดเคลื่อนเนื่องจากการวัดชนิดสีแบบเกาส์และมีสัญญาณรบกวนเนื่องจากพื้นชุ่มระชนิดขาวแบบเกาส์มีค่าความแปรปรวนเท่ากับ $0.5 N^2$	100